

전력케이블용 가교 폴리에칠렌과 반도재료의 전기적 특성

백광현, 이경용, 이관우, 최용성*, 박대희**

원광대학교 전자재료공학과

Electrical Characteristics of XLPE/Semiciconductor Sheet for Power Cables

Kwang-Hyeon Paek, Kyung-Yong Lee, Kwan-Woo Lee, Yong-Sung Choi*, and Dae-Hee Park**

Wonkwang University

Abstract

In this paper, we researched the dielectric properties and voltage dependence on slice XLPE sheet from 22[kV] and 154[kV] power cable. studied effect for impurities and water for semiconductive shied through a dielectric properties experiment to estimate performance of insulating material in power cable. Capacitance and $\tan\delta$ of 22[kV], 154[kV] were 52/42 pF and 7.4×10^{-4} , 2.15×10^{-4} , respectively. In these results, the trend was increased with the increase of temperature. The $\tan\delta$ of XLPE/semitractive layer and XLPE/water/semitractive layer were increased as compared with that of XLPE. dielectric properties reliability of $\tan\delta$ was small.

Key Words : XLPE sheet, Semiconductor sheet, Dielectric properties, Capacitance, $\tan\delta$

1. 서 론

최근 전력수요의 증가와 함께 전력설비의 초고 압화와 대용량화가 진행되고 있으며, 전력수송을 위한 송배전에 있어서 전력케이블의 수요가 급격하게 확대되고 있다. 특히, 대도시에 있어서 송배전의 지중화는 필수적으로 전력 케이블의 높은 신뢰성이 요구되고 있다. 전력케이블은 지금까지 도시내에서 배전급에 많이 사용되어 왔으나, 과밀 도시의 전력수요를 공급하기 위하여 송전을 지중으로 전력케이블을 포설하고 있다. [1-3] 국내의 경우 케이블의 예상수명 보다 못 미치는 8~12년 정도에서 사고가 빈번하게 발생하고 있으며 이러한 사고는 계속적으로 증가하는 추세이다. 전력케이블의 절연은 고분자 화학의 발전과 함께 절연성능, 내열성이 우수한 가교 폴리에칠렌을 사용하여, 이것은 절연체로 사용한 CV (혹은 XLPE) 케이블 (Cross-linked Polyethylene polyvinyl Chloride Sheath Cable)이 개발되어졌다.[4] 이 XLPE 전력

케이블은 포설, 접속, 보수 등이 용이하여 수요가 급격히 증가하고 있으며, 배전만이 아니고, 송전용 케이블로서 이용되고 있다. XLPE 전력케이블은 안정된 절연특성과 함께 많이 포설되어 왔으나, 고분자 재료의 열화 현상이 문제가 되고 있다. XLPE 전력케이블은 수트리의 발생으로 전기적인 특성이 급격하게 저하되는 것으로 판명되고, 절연 두께가 얇은 전력케이블에서는 현저하게 나타나며, 심각한 문제로 되어 왔으나, 수트리 문제가 표면화되어져 있다. 따라서 본 논문은 계면을 갖는 XLPE 시트의 유전 특성에 대하여 각각 평가하였다. 본 논문에서는 22 [kV], 154 [kV] XLPE 전력케이블의 폴리에칠렌과 반도전층을 각각 시이트로 제작하고, 계면을 갖는 구조를 XLPE/반도전층, XLPE/수분/반도전층으로 준비하였다. 또한 시료의 유전특성과 전압 의존성 등을 각각 고찰하고, XLPE내의 유전손실에 의한 손실전력을 각각 계산하였다.

2. 실험

22 [kV], 154 [kV] XLPE 전력케이블을 준비하고, 케이블로부터 두께 0.4~1.2 [mm]의 범위로 XLPE 와 반도전층 시이트를 각각 제작하였다. XLPE 시이트의 유전특성은 유전특성 측정 장치 (Tettex 2882)를 사용하였고, 전극구조는 평판전극의 주 전극/접지전극/하부전극으로 구성되어져 있으며, 시료의 가열은 주 전극 내의 히터를 사용하였다. 측정조건으로 압력은 3 [N/cm²]인가 전압은 250, 500, 750, 1000 [V]의 범위로 하였다.

3. 결과 및 고찰

3.1 22 [kV] XLPE 시이트의 유전특성

절연재료의 전기적인 특성은 절연특성, 유전특성, 파괴특성으로 구분되어서 각각 평가에 응용되고 있으며, 열화 및 전기특성 평가에 있어서는 유전특성이 응용되고 있다. 유전특성은 $\tan\delta$ 와 온도의존성 등이 요구되고 있다. 본 논문에서는 22 [kV] 급과 154 [kV]급의 XLPE의 유전특성을 평가하였다. 그림 1은 압력 3 [N/cm²]와 온도 27 [°C]에서 유전특성의 전압의존성을 타나태고 있다. 유전특성은 $\tan\delta$ 와 정전용량을 측정하였다. 그림 1에서 알 수 있듯이 500 [V]에서 $\tan\delta$ 는 7.4×10^{-4} 를 나타내고, 정전용량은 52.65 [pF], 유전율은 2.23으로 각각 측정되었다. 이같이 유전특성의 영향을 미치는 것은 전압보다 온도의 영향이 크게 미친다는 것을 볼 수 있다.

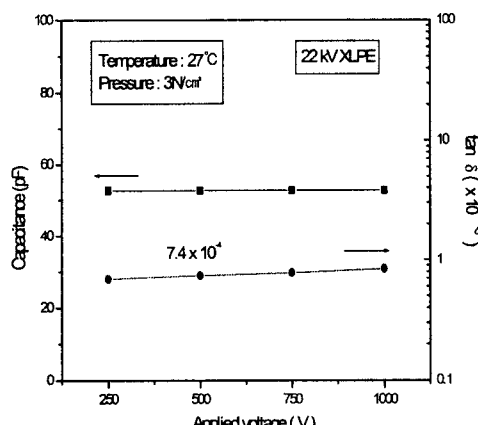


그림 1. 22 [kV]급 XLPE에서 유전특성의 전압의존성

그림 2는 XLPE에 반도전층을 겹친 XLPE/반도전층의 시이트에 대하여 $\tan\delta$ 와 정전용량의 전압의존성을 나타내고 있다. 이결과로부터 XLPE에 비해서 $\tan\delta$ 는 증가된 1.23×10^{-3} 를 나타내며, 정전용량은 XLPE와 동일한 52.67 [pF]로 얻어졌다.

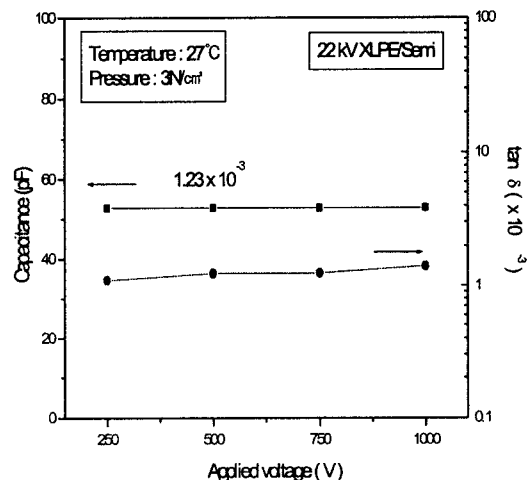


그림 2. 22 [kV]급 XLPE/반도전층에서 전압의존성

이때의 복합 유전율은 2.24로 계산되었으며, 반도전층은 절연물의 $\tan\delta$ 를 다소 저감시키는 역할을 하고 있는 것을 알 수 있다.

3.2 154[kV]급 XLPE 시이트의 유전특성

154 [kV]급 XLPE는 기존의 XLPE에 비하여 물질의 혼입이 없이 진공으로 보관되어져 사용되고 있다. 본 논문에서는 케이블의 절연체로부터 시이트를 제작하여 유전특성을 조사하고, 반도전층 및 물을 도포하였을 경우의 전기적 특성을 각각 비교·검토하고자 한다. 그림 3은 154 [kV]급 XLPE의 유전특성과 전압의존성을 나타내고 있다. 이 경우의 측정조건은 22 [kV]급 XLPE와 동일하다. 500 [V]에서의 $\tan\delta$ 와 정전용량은 2.15×10^{-4} 과 42.91 [pF]이다. 또한 인가전압의 증가와 함께 $\tan\delta$ 는 다소 증가를 보이나, 정전용량은 일정하고, 유전율은 2.24로 계산되었다. 154 [kV] XLPE의 유전특성은 22 [kV]급에 비해서 $\tan\delta$ 는 낮으나, 유전율은 거의 같은 값을 나타내고 있음을 알 수 있었다.

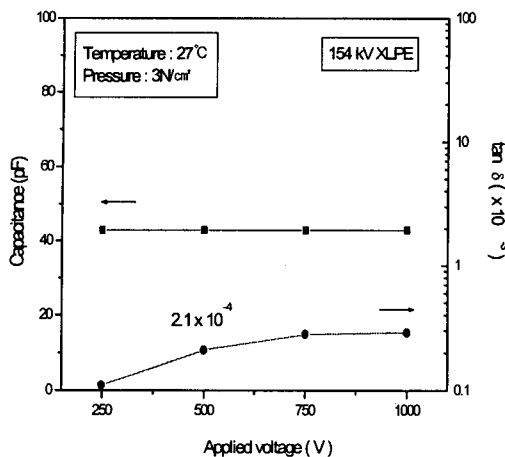


그림 3. 154 [kV]급 XLPE에서 유전특성의 전압의존성

그림 4는 XLPE/반도전층의 유전특성과 전압의 존성을 나타내고 있다. $\tan\delta$ 와 정전용량은 1.2×10^{-3} 과 43.29 [pF]로 얻어지고, 유전율은 2.25로 계산되었다. 이 결과로 부터 154 [kV]급 XLPE의 경우에도 반도전 층의 삽입으로 $\tan\delta$ 가 5배 정도 증가를 보이며, 유전율은 다소 증가를 나타내었다. 그러나 인가전압의 증가와 함께 $\tan\delta$ 와 정전용량은 XLPE와 동일하게 나타나고 있음을 알 수 있었다.

이상과 같은 결과로부터 XLPE의 $\tan\delta$ 는 $10^{-3} \sim 10^{-4}$, 유전율은 2.2~2.5 범위에 있음을 확인하였다. 또한 계면과 물의 도포가 절연체에 존재해도 유전특성은 큰 증가를 보이지 않고 있음을 알았다.

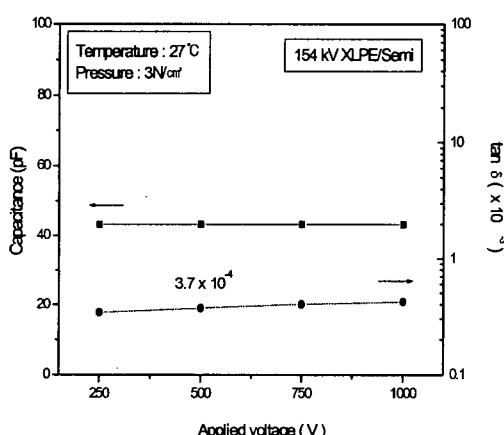


그림 4. 154 [kV]급 XLPE/반도전층에서 전압의존성

3.3 유전특성의 온도 의존성

그림 5는 22 [kV], 154 [kV] XLPE 시이트의 $\tan\delta$ 의 온도 의존성을 나타내고 있다. 그림 5에서 알 수 있는 바와 같이 $\tan\delta$ 는 온도의 증가와 함께 증가하는 경향을 보이고 있으며, 실온보다 높은 실제의 케이블에서 절연체의 큰 유전손실이 발생되어 절연열화를 가속시키는 것으로 절연성능의 평가로서 중요한 결과로 사료된다. 절연재료에 있어서 $\tan\delta$ 의 의존성은 장기 신뢰성을 평가하는 항목으로 넓게 요구되며, 각 시료의 온도 의존성의 결과는 다음과 같이 얻어졌다.

22 [kV]급 시이트의 $\tan\delta$ 는 40 [$^{\circ}\text{C}$]에서 8.5×10^{-4} , 70 [$^{\circ}\text{C}$]에서 1.37×10^{-3} 으로 증가를 나타나지만, 70~85 [$^{\circ}\text{C}$]에서는 변화가 없었다. 또한 154 [kV]급 시이트의 $\tan\delta$ 는 22 [kV]급 보다 낮은 40 [$^{\circ}\text{C}$]에서 2.3×10^{-4} , 85 [$^{\circ}\text{C}$]에서 3.0×10^{-4} 를 나타내고, 온도의 존성은 22 [kV]급 보다 적은 것으로 얻어졌다.

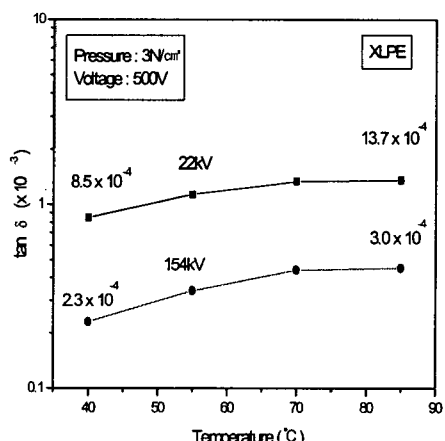


그림 5. XLPE의 $\tan\delta$ 의 온도의존성

4. 결 론

본 논문에서는 계면을 갖는 XLPE 시이트의 전기적 특성을 평가하여, 다음과 같은 결론을 얻었다.

1. 22 [kV]와 154[kV]의 XLPE 유전율은 2.2 정도로 계산되었고, $\tan\delta$ 는 2.2×10^{-4} 로 측정되었으며, 154 [kV]의 $\tan\delta$ 는 22[kV]에 비하여 다소 낮다. 또한, XLPE/반도전층과 XLPE/수분/반도전층의 $\tan\delta$ 는 XLPE에 비하여 증가하며, 154

- [kV]보다 22 [kV]에서 유전특성이 크게 증가를 보이고 있다.
2. 22[kV], 154[kV]의 XLPE, XLPE/반도전층, XLPE/수분/반도전층의 $\tan\delta$ 는 인가전압의 증가와 함께 다소 증가하는 경향을 보였다.
 3. 22[kV] 및 154[kV]의 XLPE의 $\tan\delta$ 는 상온에서 각각 8.5×10^{-4} , 2.3×10^{-4} 이고, 85[°C]에서 1.37×10^{-3} , 3.0×10^{-4} 을 나타내었으며, XLPE의 $\tan\delta$ 는 온도의 증가와 함께 증가하였다.
 4. 전력 케이블의 XLPE가 갖는 누설전류 (I_i), 충전전류 (I_c) 그리고 유전손실에 의한 손실전력 (P)을 각각 계산할 수 있었다.

참고 문헌

- [1] T. Mohatai et al., "Reliability and Transmission Capacity in XLPE Cable", Fujikura Giho, Oct, 1, 1995.
- [2] Devaux, A, Oudib, J.M. Rerolle, Y., Jocteur, R. Noirclerc, and A. Osty, "Reliability and Develop towards High Voltage of Synthetic Insulated Cables", CIGRE, 2, Paris, 1968.
- [3] W.Tiller Shugg, "Handbook of Electrical and Electronic Insulating Materials", Van Nostrand Reinhold, NY. 310, 1986.
- [4] Metra, P., Occhini, E., and Portinari, G., "High voltage Cables with extruded insulation and statistical controls and reliability evaluation", IEEE Trans. Power Appr. Syst., 94(3), 967, 1975.
- [5] S.Mahdvis, et al., "Direct Measurement of Space Charge in Synthetic Cables by the Pressure Wave Method", Proc.JICABLE, 520, 1991.
- [6] "Morphology of Extruded Dielectric Cable Insulation" EPRI EL-5921 Project 7891 Report July, 1988.
- [7] 藤井 他, "154 kV CV케-布尔用 Prefab接續函の開発", 古河電工時報, 第84号, 19, 1995.
- [8] "Morphology of Extruded Dielectric Cable Insulation" EPRI EL-5921 Project 7891 Report July, 1988.
- [9] H. Craig Miller, "Surface Flashover of Insulators", IEEE Trans. Elec. Insul. Vol. 24, No. 5, 765, 1989.
- [10] T. Okamoto, et al., "Breakdown Strength Affected by the Interface Roughness at the Semiconducting Layer in XLPE Power Cables", ICPADM 92, 127, 1991.
- [11] Robert Ross, "Dealing with Interface Problems in Polymer Cable Termination", IEEE Electrical Insulation Magazine, Vol. 15, No.4, July/August, 5, 1999.